

Anna BORUCKA  
Andrzej NIEWCZAS  
Kamila HASILOVA

## FORECASTING THE READINESS OF SPECIAL VEHICLES USING THE SEMI-MARKOV MODEL

### PROGNOZOWANIE GOTOWOŚCI POJAZDÓW SPECJALNYCH NA PODSTAWIE MODELU SEMI-MARKOWA\*

*The vehicle exploitation system, consisting of statistically identical objects that perform intervention tasks, not subject to systematic changes, can be modelled as a stationary stochastic process. Such a model allows to determine the probabilistic indicators of current and boundary readiness of the system. This article presents the use of the semi-Markov process, based on three operating states: operation, ready-to-be-used and repair, to study a transport system consisting of special vehicles. On the example of a sample consisting of police patrol cars, experimental studies of the intensity of fleet utilization, time of failure-free operation of vehicles were carried out, and it was demonstrated that the examined transport system is characterized by a satisfactory, stationary readiness coefficient. The developmental possibilities of the presented modelling method were emphasized.*

**Keywords:** vehicle exploitation system, special vehicles, readiness, semi-Markov model.

*System eksploatacji samochodów, które realizują zadania interwencyjne, niepodlegający systematycznym zmianom może być modelowany jako stacjonarny proces stochastyczny. Taki model pozwala wyznaczyć probabilistyczne wskaźniki bieżącej i granicznej gotowości systemu. W niniejszym artykule, do modelowania systemu eksploatacji pojazdów specjalnych, wykorzystano proces semi-Markowa, oparty na trzech stanach eksploatacyjnych: użytkowania, postępu użytkowego i naprawy. Na przykładzie próby radiowozów policyjnych przeprowadzono doświadczalne badania intensywności użytkowania floty, czasu bezawaryjnej pracy pojazdów a także wykazano, że badany system transportowy charakteryzuje się zadowalającym, stacjonarnym współczynnikiem gotowości. Podkreślono rozwojowe możliwości przedstawionej metody modelowania.*

**Słowa kluczowe:** system eksploatacji samochodów, pojazdy specjalne, gotowość, model semi-Markowa.

#### Introduction

The process of commercial vehicle exploitation can be analysed both in road transport companies, which operate in market conditions, as well as in rescue services and other services responsible for national security, such as the fire brigade, army, police, ambulance service. In the first group, the most important criterion for assessing the operational quality of a vehicle is efficiency, usually measured as a profit/cost ratio [1]. The second group, especially the Police, is identified above all with keeping the peace, protecting the lives and health of people and property, and preserving order. Therefore, most of the research in this thematic area is mainly related to security issues in the broad sense, and concerns, for example:

1. Estimates of the likelihood of a fatal accident when driving a police car [3] and the assessment of the risk of traffic incidents, including serious injuries resulting from participation in police operations [6, 25].
2. Possibilities of increasing the security level of police operations through the use of special methods or devices, such as the bulletproof panels mounted on police cars proposed by Michaelson [27] or the warning light systems described by Lyons [26].
3. Methods for planning and optimising patrol routes [8, 10], with particular emphasis on security issues [4] as well as the necessary number of patrol cars depending on the intensity of the activities carried out and the time of their occurrence [22].

On the other hand, the readiness and reliability of police vehicles is considered a kind of status quo. The studies presented in the literature on the assessment of readiness of complex intervention systems (not only police ones) are of a unitary nature. This is mainly due to the limitations associated with the confidential nature of the empirical data. Record and billing documentation is usually kept in paper form and the practice of creating electronic databases encounters organisational barriers.

Transport tasks are complex processes, which means that their modelling based on classical techniques of reliability theory can be complicated and may not produce satisfactory results [21]. Alternative methods are used in such a case, e.g. reliable phase diagrams proposed by Lu et al. [24] or Dong et al. [9], as well as Markov processes [11, 16, 34], which are particularly popular in the readiness assessment. In the literature one can find models describing single means of transport, e.g. a passenger car – as in the case of Girtler and Ślęzak [12], a bus in the case of Landowski et al. [23], or a helicopter in the case of Szawłowski [23]. Complex transport systems are also studied. Theoretical basis for such considerations are included in the papers [2, 13, 20]. The systems are analysed as a whole [7, 32, 35] or their individual components are considered independently, and each of them is described by a separate model. Often, the authors point to Markov processes as a tool to solve a particular exploitation problem [29, 30]. Unfortunately, transport systems models based on empirical data are few and far between. There are only single studies available,

(\*) Tekst artykułu w polskiej wersji językowej dostępny w elektronicznym wydaniu kwartalnika na stronie [www.ein.org.pl](http://www.ein.org.pl)

e.g. Migawa [28] studied the city bus exploitation system in this way, Żurek and Tomaszewska [39] analysed aircrafts and Restel [31] analysed urban rail transport systems.

The literature review shows that the Markov models are a good tool to assess the readiness of both whole systems and individual objects [5, 19]. However, they have their own requirements and limitations. These include, first of all, the form of available observations, the distribution of which should be exponential. It is an element that is often omitted in the presented analyses, which causes the use of Markov processes to be abused. It is more difficult to estimate parameters in the case of semi-Markov models, which is why they are less popular. They have less restrictive requirements concerning the form of distributions of studied variables (they can be arbitrary), therefore they are proposed in this article as a tool for police car fleet assessment. The aim of the presented study was to estimate the level of their readiness at the assumption of three operating states: operation, ready-to-be-used and repair (technical maintenance) and to present a method for a stochastic description of the exploitation process. Moreover, the intention of the authors was to emphasize that the three-state exploitation model may be a useful and sufficient tool to assess the readiness of special vehicles. The application of such a model does not require complicated calculations as it is the case with complex multi-state models and can be used in the current practice of fleet management.

## 2. Exploitation studies and preliminary analysis of the results

The subject of the study were police cars, performing patrol and intervention tasks in the capital city of Warsaw. A total of 20 Kia brand marked passenger cars were analysed. All vehicles came from a single production batch, which allowed the sample to be considered as homogeneous. The source database was the documentation of the use of police cars concerning police patrols and the records of technical services and repairs.

On the basis of the collected observations, a three-element set of operating states  $S = \{S_1, S_2, S_3\}$  of the vehicles was singled out:

- operation ( $S_1$ ),
- ready-to-be-used ( $S_2$ ),
- repair (including technical maintenance) ( $S_3$ ).

It was assumed that the time the vehicle remains in the state  $S_1$  (state  $S_1$  duration) falls within the range from the moment of departure in order to perform an intervention task (patrol) to the moment of returning to the depot. The time the vehicle remains in the state  $S_2$  (state  $S_2$  duration) falls within the range from the moment of starting a stop in the depot waiting for the instruction to perform the task until the moment of departure. The time the vehicle remains in the state  $S_3$  (state  $S_3$  duration) is determined by the time when the technical maintenance starts and ends.

Then, based on the actual interstate relations, permitted transitions were determined, which are presented in Fig. 1 in the form of a graph.

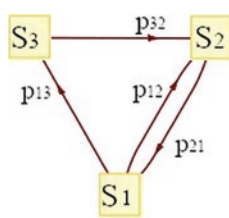


Fig. 1. Permitted transitions graph

The analysis of statistical time distributions (expressed in minutes) of individual operating states was also carried out. Matching of real

observations to selected theoretical distributions (normal, log-normal, exponential, Gamma and Weibull) was examined. The parameters of these distributions were estimated using the Statistica program, applying the highest reliability method. The quality of matching was assessed by comparing the distribution of observed frequencies with the expected ones. The statistics of the Kolmogorov-Smirnov test and the Akaike Information Criterion were calculated. On the basis of the results obtained, a gamma distribution was selected as the most suitable one. An exemplary analysis was presented for the distribution of the operation state -  $S_1$  (Fig. 2).

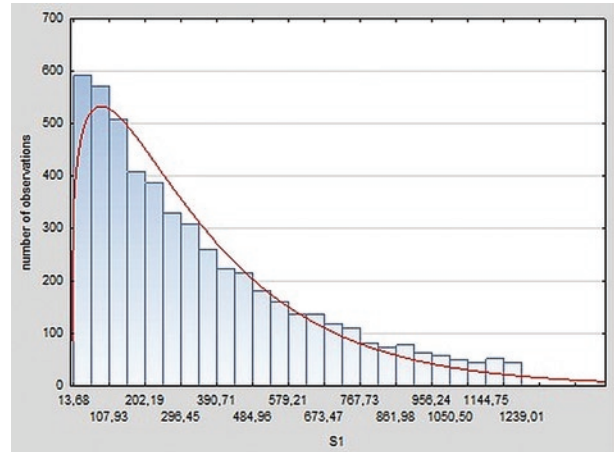


Fig. 2. Histogram of state duration times  $S_1$

## 3. Estimation of parameters of semi-Markov model

### 3.1. Basic characteristics

The conclusion from the preliminary analyses was the lack of possibility to use the Markov model (it requires exponential form of distributions of variables) and the assumption to carry out analyses with the use of the semi-Markov model, for which the form of distributions may be arbitrary.

For the examined process of car exploitation, a semi-Markov model with a finite set of states was determined by means of the Markov renewal process, based on [12, 13, 20]:

For  $N$  denoting a set of non-negative integers,  $S$  – a certain finite set,  $R_+$  – a set of non-negative real numbers, while  $\Omega, \mathcal{F}, P$ ) – a probabilistic space in which for each  $n \in N$  random variables are specified:

$$\xi_n : \Omega \rightarrow S \quad (1)$$

$$\vartheta_n : \Theta \rightarrow R_+ \quad (2)$$

Two-dimensional sequence of random variables  $\{\xi_n, \vartheta_n : n \in N\}$  is referred to as the Markov renewal process if for each  $n \in N$ ,  $i, j \in S$ ,  $t \in R_+$ :

$$P\{\xi_{n+1} = j, \vartheta_{n+1} < t | \xi_n = i, \xi_{n-1}, \dots, \xi_0, \vartheta_0, \dots, \vartheta_0\} = P\{\xi_{n+1} = j, \vartheta_{n+1} < t | \xi_n = i\} \quad (3)$$

and

$$P\{\xi_0 = i, \vartheta_0 = 0\} = P\{\xi_0 = i\} \quad (4)$$

This definition shows that Markov renewal process is a specific case of the two-dimensional Markov process [14]. Transition probabilities of this process depend solely on the discrete value of the coordinate. Markov renewal process  $\{\xi_n, \theta_n : n \in N\}$  is called homogeneous if probabilities:

$$P\{\xi_{n+1} = j, \theta_{n+1} < t | \xi_n = i\} = Q_{ij}(t) \quad (5)$$

do not depend on  $n$ .

Functional matrix:

$$Q(t) = [Q_{ij}(t)], i, j \in S \quad (6)$$

is called the renewal kernel. Semi-Markov process is defined basing on the homogeneous Markov renewal process 14.

Let:

$$M(t) = \sup \{m \geq 0 : \tau_m \leq t\} \quad (7)$$

where:

$$\tau_m = \vartheta_0 + \vartheta_1 + \dots + \vartheta_m \quad (8)$$

The stochastic process  $\{M(t) : t \in R_+\}$  is constant within the range  $[\tau_m, \tau_{m+1})$ . The stochastic process  $\{X(t) : t \in R_+\}$  is determined by the formula:

$$X(t) = \xi_{M(t)} \quad (9)$$

is a semi-Markov model,

Defining a model semi-Markov process requires defining, in addition to the kernel of the process, its initial distribution [13, 17, 38]. The process of vehicle exploitation was divided into three phases of random duration. In this case, the renewal kernel of the semi-Markov process, according to the graph of permitted transitions (Fig. 1), takes the form:

$$Q(t) = \begin{bmatrix} 0 & Q_{12}(t) & Q_{13}(t) \\ Q_{21}(t) & 0 & 0 \\ 0 & Q_{31}(t) & 0 \end{bmatrix} \quad (10)$$

This matrix constitutes a model of changes in the distinguished states of the process. The non-zero elements  $Q_{ij}(t)$  of the matrix  $Q(t)$  are the conditional probabilities of the process of transition from the state  $S_i$  to the state  $S_j$ , within a time period of not more than  $t$ , specified according to the formula (11). They depend on the distribution of random variables, namely the process durations in the distinguished states:

$$Q_{ij}(t) = P(X(\tau_{m+1}) = j, \tau_{m+1} - \tau_m \leq t | X(\tau_m) = i) \text{ for } t \geq 0 \quad (11)$$

where a random variable  $\tau_m$  means the moment of  $m$ -th change of state.

Initial distribution:  $p_i(0)$ ,  $i \in S = \{1, 2, 3\}$  was adopted in the following form:

$$p_i(0) = \begin{cases} 1, & \text{if } i = 1 \\ 0, & \text{if } i \neq 1 \end{cases} \quad (12)$$

where:

$$p_i(0) = P\{X(0) = i\}, \quad i = 1, 2, 3 \quad (13)$$

These elements make it possible to determine the probabilistic parameters of the exploitation process that are being searched for. For the semi-Markov model, the transition probabilities, defined as conditional probabilities [15], are important:

$$P_{ij}(t) = P\{X(t) = j | X(0) = i\}, i, j \in S \quad (14)$$

$P_{ij}(t)$  are the probabilities of transition from the state  $S_i$  to the state  $S_j$  at the moment  $t$ . They were calculated on the basis of real interstate relations, according to the formula (15).

$$P_{ij} = \frac{n_{ij}}{\sum_{k \in S} n_{ik}} \quad (15)$$

where:

$n_{ij}$  – number of transitions from the state  $S_i$  to the state  $S_j$ ,  
 $\sum_{k \in S} n_{ik}$  - number of all transitions (exits) from the state  $S_i$ ,

The distribution of probability of changes of the distinguished operating states (in one step), assuming that each graph arch of the exploitation process representation (Fig. 1), connecting two states of the process, corresponds to the value of probability  $p_{ij}$ , is presented in Table 1.

Table 1. Transitions probabilities matrix  $P_{ij}$

$P_{ij}$	$S_1$	$S_2$	$S_3$
$S_1$	0	0.8	0.2
$S_2$	1	0	0
$S_3$	0	1	0

The calculated values of probabilities of transitions refer to sets of states, not time period. For example,  $p_{13} = 0.2$  means that among all the exits from the state  $S_1$ , transitions from the state  $S_1$  to  $S_2$  constitute 20%.

### 3.2. Boundary properties

An important role in the study of the process of exploitation of cars modelled by the Markov chain is played by its boundary properties [13, 20], and especially by the boundaries of probabilities  $p_j(n)$  and  $p_{ij}(n)$  at  $n \rightarrow \infty$ , which describe the behaviour of the process after a long time [13, 36]. An important concept in this respect is the stationary distribution of homogeneous Markov chain, described by the vector  $\Pi$  [14]:

$$\Pi = [\pi_1, \pi_2, \pi_3] \quad (16)$$

so as:

$$\Pi = \Pi P \quad (17)$$

where:

$$P = \begin{bmatrix} p_{11} & p_{12} & p_{13} \\ p_{21} & p_{22} & p_{23} \\ p_{31} & p_{32} & p_{33} \end{bmatrix} \quad (18)$$

and:

$$\sum_{j=1}^3 \pi_j = 1 \quad (19)$$

this means that if the chain at a certain point in time  $m$  reaches the stationary distribution, then for each subsequent moment  $n$  greater than  $m$  the unconditional distribution will remain the same.

In the case of the examined process, some limits exist:

$$\lim_{n \rightarrow \infty} p_{ij}(n) = \pi_j \quad i, j = 1, 2, 3 \quad (20)$$

where:

$p_{ij}(n)$  – probability of transition from the state  $S_i$  to the state  $S_j$  in  $n$  steps.

Calculated probability matrix of changes in operating states inserted into the Markov chain process (Table 1) made it possible to determine the stationary probabilities  $\pi_j$ , according to a system of equations (17).

For the examined process, for the 3-state model, the estimation of the stationary probabilities  $\pi_j$  required the solution of the matrix equation:

$$\begin{bmatrix} \pi_1 \\ \pi_2 \\ \pi_3 \end{bmatrix}^T \cdot \begin{bmatrix} 0 & p_{12} & p_{13} \\ p_{21} & 0 & 0 \\ 0 & p_{32} & 0 \end{bmatrix} = \begin{bmatrix} \pi_1 \\ \pi_2 \\ \pi_3 \end{bmatrix}^T \quad (21)$$

with the normalization condition:

$$\pi_1 + \pi_2 + \pi_3 = 1 \quad (22)$$

which is equivalent to the following system of equations:

$$\begin{cases} \pi_2 \cdot p_{21} = \pi_1 \\ \pi_1 \cdot p_{12} + \pi_3 \cdot p_{32} = \pi_2 \\ \pi_1 \cdot p_{13} = \pi_3 \\ \pi_1 + \pi_2 + \pi_3 = 1 \end{cases} \quad (23)$$

After substituting the value of probability of transitions (Table 1), we get:

$$\begin{cases} \pi_2 = \pi_1 \\ 0.8\bar{\pi}_1 + \pi_3 = \pi_2 \\ 0.2\bar{\pi}_1 = \pi_3 \\ \pi_1 + \pi_2 + \pi_3 = 1 \end{cases} \quad (24)$$

The solution of the system of equations is presented in Table 2.

Table 2. Stationary probabilities  $\pi_j$  of the distinguished operating states

	$S_1$	$S_2$	$S_3$
$\pi_i$	0.455	0.455	0.09
$\pi_i [\%]$	45.5	45.5	9

Next, on the basis of the directed graph (Fig. 1) determining the probability of transitions of Markov chain states (Table 1), and on the basis of empirical times  $t_{ij}$  of duration of individual states, conditional estimations of expected  $E(T_{ij})$  times of duration of process  $X(t)$  states were made on the basis of the estimator defined by the formula (24):

$$\widehat{E}(T_{ij}) = \bar{T}_{ij} = \frac{t_{ij}}{\sum_{j \in S} t_{ij}} \quad (25)$$

The matrix  $\bar{T} = [\bar{T}_{ij}]$ ,  $i, j = 1, 2, 3$  of estimated conditional values of expected times  $T_{ij}$  is presented in Table 3.

Table 3. Estimated expected values of conditional times  $T_{ij}$

$\bar{T}_{ij} [\text{minutes}]$	$S_1$	$S_2$	$S_3$
$S_1$		844	845
$S_2$	479		
$S_3$		388	

When the elements of the matrix  $P$  and  $\bar{T}$  are known, the expected values  $E\bar{T}_i, i = 1, 2, 3$  of the unconditional duration times of individual states of the process can be estimated according to the dependency:

$$\widehat{E}\bar{T}_i = \bar{T}_i = \sum_{j=1}^3 p_{ij} \cdot \bar{T}_{ij} \quad (26)$$

For the examined 3-state process of vehicle exploitation, the problem of estimating the values of expected unconditional duration of individual states of the process boiled down to the solution of the following system of equations:

$$\begin{cases} \bar{T}_1 = p_{12} \cdot \bar{T}_{12} + p_{13} \cdot \bar{T}_{13} \\ \bar{T}_2 = p_{21} \cdot \bar{T}_{21} \\ \bar{T}_3 = p_{32} \cdot \bar{T}_{32} \end{cases} \quad (27)$$

The estimated values of unconditional times  $\bar{T}_i$  are shown in Table 4.

The random variables  $T_i, i = 1, 2, 3$  have finite positive expected values. This makes it possible to determine the boundary distribution of the semi-Markov process. Based on the stationary distribution of the inserted Markov chain (Table 2) and the estimated expected values

Table 4. Unconditional times  $\bar{T}_i$  [minutes] of process duration in 3 operating states

state	$\bar{T}_i$ [minutes]
1	844.2
2	479
3	388

of the process duration times (Table 4), boundary probabilities were estimated according to the formula (28) [20]:

$$P_i = \frac{\pi_i \cdot \bar{T}_i}{\sum_{k \in S} \pi_k \cdot \bar{T}_k}, i = 1, 2, 3 \quad (28)$$

The calculated boundary distribution of probability of semi-Markov process states is presented in Table 5.

Table 5. Boundary probabilities distribution  $P_i$

Percentage	$P_1$	$P_2$	$P_3$
probabilities	0.6026	0.3419	0.0555
distribution	60	34	6

The values  $P_i$  constitute boundary probabilities determining that in a long period of operation ( $t \rightarrow \infty$ ) the vehicle will remain in a given operating state.

The highest values were achieved for the state of operation (60%), which is a very good result. Ready-to-be-used reaches the boundary value of 34%, which is also a satisfactory result and shows, on the one hand, a high level of readiness of the examined vehicles and, on the other hand, a significant reserve which, however, in the case of structures operating in an unforeseen, intervention-based manner, seems rational. In boundary terms, there is only 5.5% probability of vehicles being a repair state.

The technical readiness factor  $K$  is the sum of appropriate probabilities of reliability states. For the proposed model of vehicle operation, the states  $S_1$  and  $S_2$  are roadworthy, while the state  $S_3$  is the state of unfitness. Hence, the readiness of the examined vehicles can be calculated as the sum of the boundary probabilities of the states  $S_1$  and  $S_2$ :

$$K = P_1 + P_2 \quad (29)$$

The calculated readiness factor is  $K = 94.45$  and means that the vehicles from the examined group for almost 95% of the time remain in the technical readiness state.

### 3.3. Time of first transition of the vehicle exploitation process to a subset of states (time of failure-free operation)

Another important characteristic describing the processes of vehicle exploitation is the time of the first transition of the process to a separate state or a set of states  $\{A\}$  [18]. Based on the distribution of this time and its parameters, the probability of vehicles being in a particular state or set of states may be determined [20, 37]. Function in a form:

$$\Phi_{iA}(t) = P(\Theta_A \leq t | X(0) = i), t \geq 0 \quad (30)$$

is a distribution function of the distribution of a random variable  $\Theta_A = \tau_{\Delta_A}$ , which means the time elapsing from the moment when the semi-Markov process takes the value  $i \in A'$  until the moment when the process takes any value from the subset of states  $A$ , where  $A \subset S$  and  $A' = S - A$ . while:

$$\Delta_A = \min \{n \in N : X(\tau_n) \in A\} \quad (31)$$

For regular semi-Markov processes, in which the subset  $A$  is strongly achievable from any state belonging to  $A'$ , random variables  $T_{ij}$  have finite and positive expected values  $E(T_{ij})$ , there are expected values  $E(\Theta_{A'})$  and they are the only solutions of the system of equations [13, 20]:

$$(I - P_{A'}) \bar{\Theta}_{A'} = T_{A'} \quad (32)$$

where:

$P_{A'}$  – probability matrix of transitions within the set  $A'$

$\bar{\Theta}_{A'}$  – process kernel specified in the set  $A'$

$T_{A'}$  – random variables of unconditional duration times of the process in the set of states  $A'$

Since in the process under consideration the transport task will be performed if there is no failure of the means of transport, the distribution of time of task execution (failure-free operation of the system) can be found by reducing the original model by the state  $S_3$  - repair. In such a case the subset of states  $A' = \{S_1, S_2\}$ , while the subset of states  $A = \{S_3\}$ , and the elements of the equation (32) take the form:

$$I = \begin{bmatrix} 1 & 0 \\ 0 & 1 \end{bmatrix}, \quad \bar{\Theta}_{A'} = \begin{bmatrix} \bar{\Theta}_{13} \\ \bar{\Theta}_{23} \end{bmatrix}, \quad \bar{T}_{A'} = \begin{bmatrix} E(T_1) \\ E(T_2) \end{bmatrix}, \quad (33)$$

$$P_{A'}(s) = \begin{bmatrix} 0 & p_{12} \\ p_{21} & 0 \end{bmatrix} \quad (34)$$

where:

$$P_{A'} = [p_{ik}] \quad i, k \in A' \quad (35)$$

is a sub matrix of matrix  $P_{ij}$  (Table 1). Random variable  $\Theta_{ij}$  means the time elapsed between the initial time and the time when the repair condition is first reached, provided that one of the conditions of set  $A'$  has commenced at the time considered initial. Hence, it means the time of system failure-free operation. For the analysed semi-Markov model, the matrix equation (32) takes the following form:

$$\left( \begin{bmatrix} 1 & 0 \\ 0 & 1 \end{bmatrix} - \begin{bmatrix} 0 & p_{12} \\ p_{21} & 0 \end{bmatrix} \right) \cdot \begin{bmatrix} \bar{\Theta}_{13} \\ \bar{\Theta}_{23} \end{bmatrix} = \begin{bmatrix} E(T_1) \\ E(T_2) \end{bmatrix} \quad (36)$$

After substituting appropriate values from Table 1 and Table 4 we get:

$$\left( \begin{bmatrix} 1 & 0 \\ 0 & 1 \end{bmatrix} - \begin{bmatrix} 0 & 0.8 \\ 1 & 0 \end{bmatrix} \right) \cdot \begin{bmatrix} \bar{\Theta}_{13} \\ \bar{\Theta}_{23} \end{bmatrix} = \begin{bmatrix} 844.2 \\ 479 \end{bmatrix} \quad (37)$$

which comes down to solving the system of equations:

$$\begin{cases} \bar{\Theta}_{13} - 0.8\bar{\Theta}_{23} = 844.2 \\ -\bar{\Theta}_{13} + \bar{\Theta}_{23} = 479 \end{cases} \quad (38)$$

The results of calculations of the above equations are presented in Table 6.

Table 6. Values of the elements of the matrix  $\bar{\Theta}$  of the time of first transition for all vehicles

$\bar{\Theta}$	[min]	[h]
$\bar{\Theta}_{13}$	6137	102.3
$\bar{\Theta}_{23}$	6616	110.3

If the initial decomposition of the exploitation process is a vector:

$$p = [p_1, p_2, p_3] \quad (39)$$

which in the examined process, according to the original assumption (12), takes the form:

$$p = [1, 0, 0] \quad (40)$$

then the first row of the single-column matrix solving this equation is the expected value of the task execution time, which in this case is more than 102 hours.

It is also possible to determine the time distribution for the correct operation of the object. Using the information that the probability of the transition  $P_{ij}(t)$ , defined as conditional probabilities [20]:

$$P_{ij}(t) = P\{X(t) = j | X(0) = i\}, i, j \in S \quad (41)$$

fulfil the Feller's equations:

$$P_{ij}(t) = \delta_{ij} [1 - G_i(t)] + \sum_{k \in S_0}^t \int P_{kj}(t-x) dQ_{ik}(x), i, j \in S \quad (42)$$

it is possible to find the solution to this system using Laplace – Stieljes transformation:

$$P_{ij}(t) = \delta_{ij} [1 - G_i(t)] + \sum_{k \in S_0}^t \int P_{kj}(t-x) dQ_{ik}(x), i, j \in S \quad (43)$$

$$\tilde{P}_{ij}(s) = \int_0^\infty e^{-st} dP_{ij}(t) \quad (44)$$

$$\tilde{q}_{ik}(s) = \int_0^\infty e^{-st} dQ_{ik}(t) \quad (45)$$

where  $Q_{ik}(t)$  is the kernel of the process of renewal of a subset of states  $A'$  while  $G_i(t)$  denotes the distribution function of a random variable  $T_i$  of the duration of the  $i$ -th state of the semi-Markov process, regardless of the state to which the transition occurs at the moment  $\tau_{n+1}$  [13]:

$$G_i(t) = P\{T_i < t\} = P\{\tau_{n+1} - \tau_n < t / X(\tau_n) = 1\}, i \in S \quad (46)$$

In this case, the above system of integral equations is correspondent to the system of algebraic equations with unknown transforms  $p_{ij}(s)$ ,  $i, j \in S$ :

$$\tilde{p}_{ij}(s) = \delta_{ij} \left[ \frac{1 - \tilde{g}_i(s)}{s} \right] + \sum_{k \in S} \tilde{q}_{ik}(s) \tilde{p}_{kj}(s), i, j \in S \quad (47)$$

the system in the matrix notation takes the form:

$$\tilde{P}(s) = \frac{1}{s} [I - \tilde{q}(s)]^{-1} [1 - \tilde{g}(s)] \quad (48)$$

When solved, a transforms matrix is obtained. Since the initial state is the state  $S_1$ , the first line is simultaneously a one-dimensional distribution of the process.

For of the examined system:

$$Q(t) = \begin{bmatrix} 0 & Q_{12}(t) \\ Q_{21}(t) & 0 \end{bmatrix} \quad (48)$$

where  $Q_{12}(t)$  and  $Q_{21}(t)$  are distribution functions of estimated Gamma decompositions:

$$Q_{12}(t) = \frac{e^{-\frac{t}{\beta_1}} t^{-1+\alpha_1} \beta^{-\alpha_1}}{\Gamma[\alpha_1]}, \quad t > 0 \quad (50)$$

$$Q_{21}(t) = \frac{e^{-\frac{t}{\beta_2}} t^{-1+\alpha_2} \beta^{-\alpha_2}}{\Gamma[\alpha_2]} \quad t > 0 \quad (51)$$

and:

$$\Gamma(\alpha) = \int_0^\infty t^{\alpha-1} e^{-t} \quad (52)$$

since for the Gamma decomposition the Laplace-Stieljes transform takes the form:

$$\tilde{f}(s) = \left( \frac{\beta}{\beta + s} \right)^\alpha \quad (53)$$

the elements of equation (48) take the form:

$$\frac{1}{s} [I - \tilde{g}(s)]^{-1} = \begin{bmatrix} \frac{0.1}{s(1 - \beta_1^{\alpha_1} (s + \beta_1)^{-\alpha_1} \beta_2^{\alpha_2} (s + \beta_2)^{-\alpha_1})} & \frac{0.1 \beta_1^{\alpha_1} (s + \beta_1)^{-\alpha_1}}{s(1 - \beta_1^{\alpha_1} (s + \beta_1)^{-\alpha_1} \beta_2^{\alpha_2} (s + \beta_2)^{-\alpha_1})} \\ \frac{0.1 \beta_2^{\alpha_2} (s + \beta_2)^{-\alpha_1}}{s(1 - \beta_1^{\alpha_1} (s + \beta_1)^{-\alpha_1} \beta_2^{\alpha_2} (s + \beta_2)^{-\alpha_1})} & \frac{0.1}{s(1 - \beta_1^{\alpha_1} (s + \beta_1)^{-\alpha_1} \beta_2^{\alpha_2} (s + \beta_2)^{-\alpha_1})} \end{bmatrix} \quad (54)$$

and:

$$[1 - \tilde{g}(s)] = \begin{bmatrix} 1 - \beta_1^{\alpha_1} (s + \beta_1)^{-\alpha_1} & 1 \\ 1 & 1 - \beta_2^{\alpha_2} (s + \beta_2)^{-\alpha_1} \end{bmatrix} \quad (55)$$

The solution is a matrix whose elements of the first line are as follows:

$$\tilde{P}(s) = \frac{0.1 \beta_1^{\alpha_1} (s + \beta_1)^{-\alpha_1}}{s(1 - \beta_1^{\alpha_1} (s + \beta_1)^{-\alpha_1} \beta_2^{\alpha_2} (s + \beta_2)^{-\alpha_1})} + \frac{0.1 (1 - \beta_1^{\alpha_1} (s + \beta_1)^{-\alpha_1})}{s(1 - \beta_1^{\alpha_1} (s + \beta_1)^{-\alpha_1} \beta_2^{\alpha_2} (s + \beta_2)^{-\alpha_1})} \quad (56)$$

$$\tilde{P}_2(s) = \frac{0.1}{s(1 - \beta_1^{\alpha_1}(s + \beta_1)^{-\alpha_1} \beta_2^{\alpha_2}(s + \beta_2)^{-\alpha_1})} + \frac{0.1\beta_1^{\alpha_1}(s + \beta_1)^{-\alpha_1}(1 - \beta_2^{\alpha_2}(s + \beta_2)^{-\alpha_1})}{s(1 - \beta_1^{\alpha_1}(s + \beta_1)^{-\alpha_1} \beta_2^{\alpha_2}(s + \beta_2)^{-\alpha_1})} \quad (57)$$

After calculating the reverse transforms, the boundary distribution of the intensity of use of the object is obtained. For the state  $S_1$  we get the function in the form:

$$P_1(t) = 0.0026857e^{-0.66956t} - 0.006151e^{-0.23043t} - 0.129546e^{-0.0446957t} + 0.6$$

The graph of this function is shown in Fig. 3

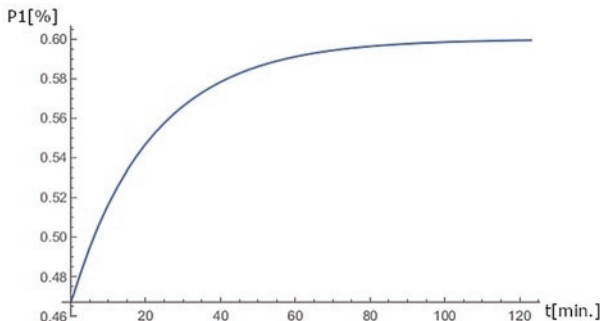


Fig. 3. Function graph  $P_1(t)$

The function stabilizes in about 120 minutes, and within the boundary, for  $t \rightarrow \infty$ , it aims towards the previously calculated boundary value of the semi-Markov process of  $P_1 = 60\%$ .

#### 4. Conclusions

The use of semi-Markov processes allows to determine the boundary readiness factor and to carry out the analysis of the duration times of distinguished operating states of special vehicles. It also enables an objective assessment of the intensity of vehicle operation and the time of its failure-free operation. Analysing readiness factors, it is possible to search for optimal algorithms of vehicle operation and maintenance, as well as to analyse the quality of vehicle fleet selection.

The validity of the above assumptions was confirmed by the conducted research. The proposed semi-Markov model made it possible to diagnose the system of exploitation of police cars indicating that it is characterized by a satisfactory level of probability of vehicles being in the state of operation ( $P_1 = 0.6$ ) and ready-to-be-used ( $P_2 = 0.34$ ). The forecast technical readiness factor amounted to  $K = 95\%$ .

Therefore, the effectiveness of the application of semi-Markov processes to model the readiness of special vehicle exploitation systems has been demonstrated. The three-state model distinguishing the state of operation of the vehicle, the state of ready-to-be-used and the state of repair (technical maintenance) proved to be justified. In this case, it was not necessary to create complex, multi-state structures of the exploitation process model requiring advanced computational programs. The presented, three-state model is expandable in a situation where a deeper analysis of selected aspects of the system readiness would be necessary.

#### References

1. Andrzejczak K, Młyńczak M, Selech J. Poisson-distributed failures in the predicting of the cost of corrective maintenance. Eksplotacja i Niegawodnosc - Maintenance and Reliability 2018; 20(4): 602-609, <https://doi.org/10.17531/ein.2018.4.11>.
2. Bain L.J, Engelhardt M. Introduction to Probability and Mathematical Statistics. Second Edition. California: Cengage Learning, 2000.
3. Becker L.R, Zaloshnja E, Levick N, Guohua L, Miller T. R. Relative risk of injury and death in ambulances and other emergency vehicles. Accident Analysis & Prevention 2003; 35(6): 941-948, [https://doi.org/10.1016/S0001-4575\(02\)00102-1](https://doi.org/10.1016/S0001-4575(02)00102-1).
4. Behm G.W, Huber W.B, Noll A.J, Pelaez R. A Method and system for safe emergency vehicle operation using route calculation. United States Patent US8842021B2, 2014.
5. Cheng Q, Sun B, Zhao Y, Gu P. A method to analyze the machining accuracy reliability sensitivity of machine tools based on Fast Markov Chain simulation. Podejście do analizy czułości niezawodnościowej dokładności obrabiarek oparte na symulacji metodą szybkich łańcuchów Markowa. Eksplotacja i Niegawodnosc - Maintenance and Reliability 2016; 18 (4): 552-564, <https://doi.org/10.17531/ein.2016.4.10>.
6. Chu H. C. Risk factors for the severity of injury incurred in crashes involving on-duty police cars. Traffic injury prevention 2016, (5)17: 495-501, <https://doi.org/10.1080/15389588.2015.1109082>.
7. Dekker R, Nicolai R.P, Kallenberg L.C.M. Maintenance and Markov decision models. In Wiley StatsRef: Statistics Reference Online (eds Balakrishnan N, Colton T, Everitt B, Piegorsch W, Ruggeri F, Teugels J.L.). John Wiley & Sons, 2014, <https://doi.org/10.1002/9781118445112.stat03960>.
8. Dinc S, Dinc I. Evaluation of Unsupervised Classification on Police Patrol Zone Design Problem. SoutheastCon 2018. St Petersburg, 2018: 1-7, <https://doi.org/10.1109/SECON.2018.8478908>.
9. Dong W, Liu S, Yang X, Wang H, Fang Z. Balancing reliability and maintenance cost rate of multi-state components with fault interval omission. Eksplotacja i Niegawodnosc - Maintenance and Reliability 2019; 21(1): 37-45, <https://doi.org/10.17531/ein.2019.1.5>.
10. Elliott T, Payne A, Atkison T, Smith R. Algorithms in Law Enforcement: Toward Optimal Patrol and Deployment Algorithms. Proceedings of the 2018 International Conference on Information and Knowledge Engineering IKE'18. Las Vegas, 2018: 93-99.
11. Ge H, Tomasevicz C.L, Asgarpoor S. Optimum Maintenance Policy with Inspection by Semi-Markov Decision Processes. 39th North American Power Symposium, Las Cruces, 2007: 541-546, <https://doi.org/10.1109/NAPS.2007.4402363>.
12. Girtler J, Ślęzak M. Application of the theory of semi-Markov processes to the development of a reliability model of an automotive vehicle. Archiwum Motoryzacji 2012; 2: 15-27, <https://doi.org/10.5604/1234754X.1066721>.
13. Grabski F. Semi-Markov Processes. Applications in System Reliability and Maintenance. Elsevier, 2015, <https://doi.org/10.1016/B978-0-12-800518-7.00004-1>.
14. Grabski F. Teoria semi-Markowskich procesów eksplotacji obiektów technicznych. - The theory of semi-Markov processes of technical object exploitation Gdynia: Zeszyty Naukowe Wyższej Szkoły Marynarki Wojennej 75A, 1982.
15. Hong W, Zhou K. A note on the passage time of finite-state Markov chains. Communications in Statistics - Theory and Methods 2017; 46(1): 438-445, <https://doi.org/10.1080/03610926.2014.995825>.
16. Hu L, Su P, Peng R, Zhang Z. Fuzzy Availability Assessment for Discrete Time Multi-State System under Minor Failures and Repairs by Using Fuzzy Lz-transform. Eksplotacja i Niegawodnosc - Maintenance and Reliability 2017; 19 (2): 179-190, <https://doi.org/10.17531/>

- ein.2017.2.5.
17. Huang X.X, Zou X.L, Guo X.P. A minimization problem of the risk probability in first passage semi-Markov decision processes with loss rates. *Science China Mathematics* 2015; 58: 1923 - 1938, <https://doi.org/10.1007/s11425-015-5029-x>.
  18. Hunter J.J. The computation of the mean first passage times for Markov chains. *Linear Algebra and its Applications* 2018; 549: 100-122, <https://doi.org/10.1016/j.laa.2018.03.010>.
  19. Iscioglu F, Kocak A. Dynamic reliability analysis of a multi-state manufacturing system. *Eksplotacja i Niezawodnosć - Maintenance and Reliability* 2019; 21 (3): 451-459, <https://doi.org/10.17531/ein.2019.3.11>.
  20. Jaźwiński J, Grabski F. Niektóre problemy modelowania systemów transportowych - Selected problems of transport system modelling. Radom: Instytut Technologii Eksplotacji, 2003.
  21. Kaczor G. Modelowanie i ocena niezawodności systemu transportu intermodalnego - Modelling and assessment of the reliability of the intermodal transport system. *Logistyka* 2015; 3: 2047-2054.
  22. Kolesar P.J, Rider K.L, Crabbill T.B, Walker W.E. A Queuing-Linear Programming Approach to Scheduling Police Patrol Cars. *Operations Research* 1975; 23(6):1045-1062, <https://doi.org/10.1287/opre.23.6.1045>.
  23. Landowski B, Muślewski Ł, Knopik L, Bojar P. Semi-Markov model of quality state changes of a selected transport system. *Journal of KONES* 2017; 24(4): 141-148.
  24. Lu J-M, Lundteigen M.A, Liu Y, Wu X-Y. Flexible truncation method for the reliability assessment of phased mission systems with repairable components. *Eksplotacja i Niezawodnosć - Maintenance and Reliability* 2016; 18 (2): 229-236, <https://doi.org/10.17531/ein.2016.2.10>.
  25. Lundålv J, Philipson Ch, Sarre R. How do we reduce the risk of deaths and injuries from incidents involving police cars? Understanding injury prevention in the Swedish context. *Police Practice and Research* 2010; 11(5): 437-450, <https://doi.org/10.1080/15614263.2010.497333>.
  26. Lyons H.W. Integrated warning light and rear-view mirror. United States Patent 5851064, 1998.
  27. Michaelson E.B. Bulletproof blanket for use with law enforcement vehicles such as police cars. United States Patent 6161462, 2000.
  28. Migawa K. Availability control for means of transport in decisive semi-Markov models of exploitation process. *Archives of Transport* 2012; 4(24): 497-508, <https://doi.org/10.2478/v10174-012-0030-4>.
  29. Młyńczak M. Metodyka badań eksplotacyjnych obiektów mechanicznych - Methodology of exploitation tests of mechanical objects. Wrocław: Oficyna Wydawnicza Politechniki Wrocławskiej, 2012.
  30. Muślewski Ł. Control Method for Transport System Operational Quality. *Journal of KONES* 2009; 3(16): 275-282.
  31. Restel F. The Markov reliability and safety model of the railway transportation system. *Safety and Reliability: Methodology and Applications - Proceeding of the European Safety and Reliability Conference*. London, 2014: 303-311, <https://doi.org/10.1201/b17399-46>.
  32. Świderski A. Inżynieria jakości w wybranych obszarach transportu - Quality engineering in selected areas of transport. Warszawa: Instytut Transportu Samochodowego (Motor Transport Institute), Warszawa 2018.
  33. Szawłowski S. Analiza wpływu systemu usług na gotowość techniczną śmigłowca pokładowego SH-2G - Analysis of the impact of the maintenance system on the technical readiness of the SH-2G ship-based helicopter. *Prace Instytutu Lotnictwa* 2008; 3-4 (194-195): 326-331.
  34. Thomas O.S, Sobanjo J.O. Semi-Markov Decision Process: A Decision Tool for Transportation Infrastructure Management Systems. *International Conference on Transportation and Development: Projects and Practices for Prosperity* 2016: 384 - 396, <https://doi.org/10.1061/9780784479926.036>.
  35. Woropay M, Żurek J, Migawa K. Model of assessment and shaping of operational readiness of the maintenance subsystem in the transport system. Radom: Instytut Technologii Eksplotacji, 2003.
  36. Wu X, Zhang J. Finite approximation of the first passage models for discrete-time Markov decision processes with varying discount factors. *Discrete Event Dynamic Systems* 2016; 26(4): 669 - 683, <https://doi.org/10.1007/s10626-014-0209-3>.
  37. Wu X, Zou X, Guo X. First passage Markov decision processes with constraints and varying discount factors. *Frontiers of Mathematics in China* 2015; 10(4): 1005-1023, <https://doi.org/10.1007/s11464-015-0479-6>.
  38. Xie W, Hong Y, Trivedi K. Analysis of a two-level software rejuvenation policy. *Reliability Engineering & System Safety* 2005; 87: 13-22, <https://doi.org/10.1016/j.ress.2004.02.011>.
  39. Żurek J, Tomaszewska J. Analysis of the exploitation system from the standpoint of readiness, *Prace Naukowe Politechniki Warszawskiej*, Warszawa 2016; 114: 471 -477.

**Anna BORUCKA**

Military University of Technology  
ul. Kaliskiego 2, 01-476, Warsaw, Poland

**Andrzej NIEWCZAS**

Motor Transport Institute,  
ul. Jagiellońska 80, 03-301, Warsaw, Poland

**Kamila HASILOVA**

University of Defence,  
Kounicova 65, 662 10 Brno, Czech Republic

E-mails: anna.borucka@wat.edu.pl, andrzej.niewczas@its.waw.pl, kamila.hasilova@unob.cz

**dr inż. Anna Borucka**

Military University of Technology

gen. Sylwestra Kaliskiego 2, 01-476, Warsaw, Poland

E-mail: [anna.borucka@wat.edu.pl](mailto:anna.borucka@wat.edu.pl)

**prof. dr hab. inż. Andrzej Niewczas**

Motor Transport Institute,

Jagiellońska 80, 03-301, Warsaw, Poland

E-mail: [andrzej.niewczas@its.waw.pl](mailto:andrzej.niewczas@its.waw.pl)

**dr Kamila Hasilova**

University of Defence,

Kounicova 65, 662 10 Brno, Czech Republic

E-mail: [kamila.hasilova@unob.cz](mailto:kamila.hasilova@unob.cz)

**Prognozowanie gotowości pojazdów specjalnych na podstawie  
modelu semi -Markowa****Forecasting the readiness of special vehicles  
using the semi-Markov model**

**Keywords:** vehicle exploitation system, special vehicles, readiness, semi-Markov model.

**Abstract:** The vehicle exploitation system, consisting of statistically identical objects that perform intervention tasks, not subject to systematic changes can be modelled as a stationary stochastic process. Such a model allows to determine the probabilistic indicators of current and boundary readiness of the system. This article presents the use of the semi-Markov process, based on three operating states: operation, ready-to-be-used and repair to study a transport system consisting of special vehicles. On the example of a sample consisting of police patrol cars, experimental studies of the intensity of fleet utilization, time of failure-free operation of vehicles were carried out and it was demonstrated that the examined transport system is characterized by a satisfactory, stationary readiness coefficient. The developmental possibilities of the presented modelling method were emphasized.

**Keywords:** system eksploatacji samochodów, pojazdy specjalne, gotowość, model semi-Markowa.

**Streszczenie:** System eksploatacji samochodów, które realizują zadania interwencyjne, niepodlegający systematycznym zmianom może być modelowany jako stacjonarny proces stochastyczny. Taki model pozwala wyznaczyć probabilistyczne wskaźniki bieżącej i granicznej gotowości systemu.

W niniejszym artykule, do modelowania systemu eksploatacji pojazdów specjalnych, wykorzystano proces semi-Markowa, oparty na trzech stanach eksploatacyjnych: użytkowania, postoju użytkowego i naprawy. Na przykładzie próby radiowozów policyjnych przeprowadzono doświadczalne badania intensywności użytkowania floty, czasu bezawaryjnej pracy pojazdów a także wykazano, że badany system transportowy charakteryzuje się zadowalającym, stacjonarnym współczynnikiem gotowości. Podkreślono rozwojowe możliwości przedstawionej metody modelowania.

## 1. Wstęp

Proces eksploatacji pojazdów użytkowych można analizować zarówno w przedsiębiorstwach transportu samochodowego, które funkcjonują w warunkach rynkowych, jak również w służbach ratowniczych i innych, odpowiedzialnych za bezpieczeństwo państwa, takich jak straż pożarna, wojsko, policja, pogotowie ratunkowe. W pierwszej grupie najważniejszym kryterium oceny jakości eksploatacyjnej pojazdu jest efektywność, zazwyczaj wymiarowana

jako stosunek zysków do kosztów [1]. Druga grupa, w tym szczególnie policja, utożsamiana jest przede wszystkim z zapewnieniem spokoju obywatelom, ochroną życia i zdrowia ludzi oraz mienia, a także troską o porządek. Dlatego większość badań prowadzonych w tym obszarze tematycznym związana jest głównie z szeroko pojętymi kwestiami bezpieczeństwa i dotyczy na przykład:

1. Szacowania prawdopodobieństwa wypadku śmiertelnego w przypadku poruszania się samochodami policyjnymi [3] oraz oceny ryzyka zdarzeń drogowych w tym występowania poważnych urazów wynikających z uczestnictwa w akcjach policyjnych [6, 25].
2. Możliwości zwiększenia poziomu bezpieczeństwa realizacji akcji policyjnych poprzez zastosowanie specjalnych metod czy urządzeń np. proponowanych przez Michaelson'a kuloodpornych paneli montowanych na radiowozach [27] czy opisywanych przez Lyons'a systemów światel ostrzegawczych [26].
3. Metod planowania i optymalizacji tras patroli [8, 10], ze szczególnym uwzględnieniem kwestii bezpieczeństwa [4], a także niezbędnej liczby samochodów patrolowych w zależności od natężenia realizowanych czynności i pory dnia ich występowania [22].

Natomiast gotowość i niezawodność pojazdów policyjnych uważana jest za swoiste status quo. Prezentowane w literaturze badania dotyczące oceny gotowości złożonych systemów interwencyjnych (nie tylko policji), mają charakter jednostkowy. Wynika to przede wszystkim z ograniczeń związanych z poufnym charakterem danych empirycznych. Dokumentacja ewidencyjno – rozliczeniowa prowadzona jest zazwyczaj w postaci papierowej a praktyka tworzenia elektronicznych baz danych, napotyka na bariery organizacyjne.

Zadania transportowe są procesami złożonymi, co powoduje że ich modelowanie w oparciu o klasyczne techniki teorii niezawodności może być zawiłe i nie dawać satysfakcjonujących wyników [21]. Wówczas wykorzystywane są alternatywne metody, np. proponowane przez Lu i współautorów [24] lub Dong'a i innych [9] niezawodnościowe diagramy fazowe, a także procesy Markowa [11, 16, 34], które w ocenie gotowości są szczególnie popularne. W literaturze można odnaleźć modele opisujące pojedyncze środki transportu, np. samochód osobowy – jak u Girtlera i Ślezaka [12], autobus u Landowskiego i innych [23], czy śmigłowiec u Szawłowskiego [33]. Badane są także złożone systemy transportowe. Podstawy teoretyczne takich rozwiązań zawierają prace [2, 13, 20]. Systemy analizowane są jako całość [7, 32, 35] lub ich poszczególne składowe rozpatrywane są niezależnie, a każda z nich opisywana jest oddzielnym modelem. Często autorzy wskazują procesy Markowa jako narzędzie rozwiązymania szczególnego problemu eksplotacyjnego [29, 30]. Niestety, modele systemów transportowych, oparte na danych empirycznych są nieliczne. Dostępne są pojedyncze opracowania, np. Migawa [28], badał w ten sposób system eksplotacji autobusów miejskich, Żurek i Tomaszewska [39] analizowali statki powietrzne, a Restel [31] systemy miejskiego transportu kolejowego.

Przegląd literatury pokazuje, że modele Markowa są dobrym narzędziem oceny gotowości zarówno całych systemów, jak i pojedynczych obiektów [5, 19]. Mają jednak swoje wymagania i ograniczenia. Należy do nich przede wszystkim postać dostępnych obserwacji, których rozkład powinien być wykładniczy. Jest to element często pomijany w prezentowanych analizach, co powoduje, że stosowanie procesów Markowa jest nadużywane. Trudniejsze w estymacji parametrów i dlatego mniej popularne są modele semi-Markowa. Mają one mniej restrykcyjne wymagania dotyczące postaci rozkładów badanych zmiennych (mogą być dowolne), dlatego zostały zaproponowane w niniejszym artykule, jako narzędzie oceny floty radiowozów policyjnych. Celem zaprezentowanego badania było oszacowanie poziomu ich gotowości przy założeniu trzech stanów eksplotacyjnych: użytkowania, postoju użytkowego i naprawy (obsługiwania technicznego) oraz przedstawienie metody stochastycznego opisu procesu eksplotacyjnego. Ponadto intencją

autorów było podkreślenie, że trzystanowy model eksploatacji może być użytecznym i wystarczającym narzędziem oceny gotowości pojazdów specjalnych. Zastosowanie takiego modelu nie wymaga skomplikowanych obliczeń jak ma to miejsce w przypadku rozbudowanych modeli kilkunastostanowych i może być wykorzystywane w bieżącej praktyce zarządzania flotą pojazdów.

## 2. Badania eksploatacyjne i analiza wstępna wyników

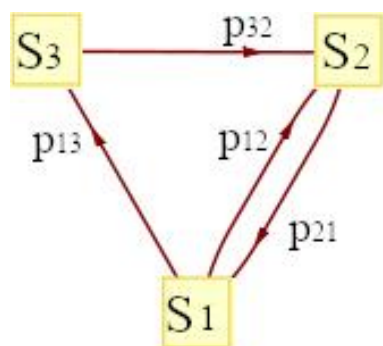
Przedmiotem badania były radiowozy policyjne, realizujące zadania patrolowe i interwencyjne na terenie miasta stołecznego Warszawy. Analizie poddano 20 oznakowanych samochodów osobowych marki Kia. Wszystkie samochody pochodziły z tej samej partii produkcyjnej, co pozwoliło uznać próbę za jednorodną. Bazę danych źródłowych stanowiła dokumentacja użytkowania radiowozów dotycząca patroli policyjnych oraz rejestyry obsługi technicznych i napraw.

Na podstawie zgromadzonych obserwacji wyodrębniono trzyelementowy zbiór stanów eksploatacyjnych  $S = \{S_1, S_2, S_3\}$ , w których przebywają pojazdy:

- użytkowanie ( $S_1$ ),
- postój użytkowy ( $S_2$ ),
- naprawa (również obsługiwania techniczne) ( $S_3$ ).

Przyjęto, że czas przebywania pojazdu w stanie  $S_1$  (czas trwania stanu  $S_1$ ) zawiera się w przedziale od chwili wyjazdu w celu wykonania zadania interwencyjnego (patrolu), do chwili powrotu pojazdu do zajezdni. Czas przebywania pojazdu w stanie  $S_2$  (czas trwania stanu  $S_2$ ) zawiera się od chwili rozpoczęcia postoju w zajezdni w oczekiwaniu na dyspozycję wykonania zadania do chwili wyjazdu. Czas przebywania pojazdu w stanie  $S_3$  (czas trwania stanu  $S_3$ ) wyznacza chwile rozpoczęcia i zakończenia obsługi technicznego.

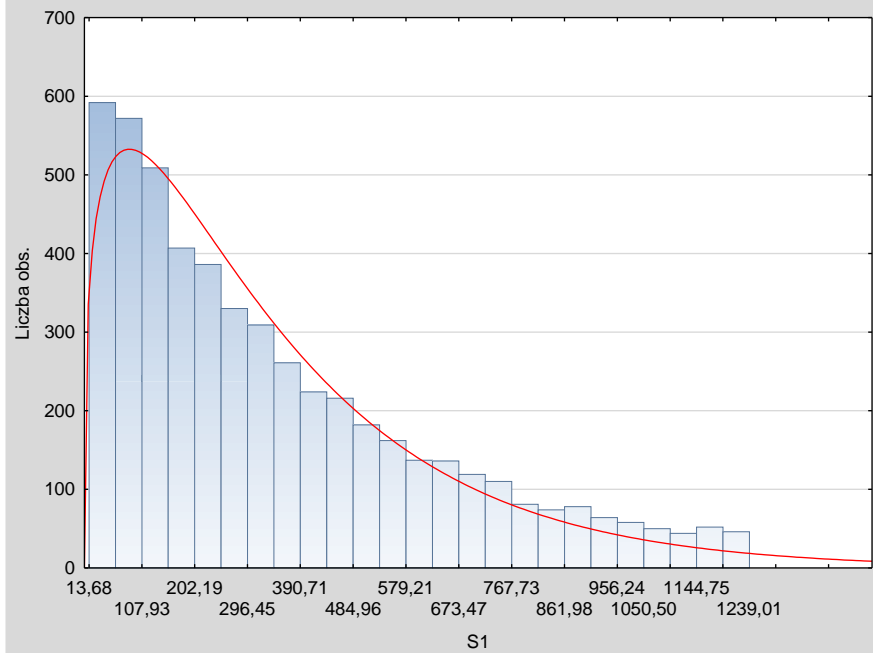
Następnie w oparciu o rzeczywiste relacje międzystanowe ustalono przejścia dozwolone, które, w formie grafu, zaprezentowano na rys. 1.



Rysunek 1. Graf przejść dozwolonych

Przeprowadzono także analizę statystycznych rozkładów czasów trwania (wyrażonych w minutach) poszczególnych stanów eksploatacyjnych. Sprawdzono dopasowanie rzeczywistych obserwacji do wybranych rozkładów teoretycznych (normalnego, log-normalnego, wykładniczego, Gamma i Weibulla). Parametry tych rozkładów estymowano z wykorzystaniem programu Statistica, wykorzystując metodę największej wiarogodności. Jakość dopasowania oceniono porównując rozkłady obserwowanych częstości z oczekiwanyimi. Obliczono statystykę testu Kołmogorowa-Smirnowa oraz kryterium informacyjne Akaikego. Na podstawie otrzymanych wyników, jako najbardziej odpowiedni,

wybrano rozkład Gamma. Przykładową analizę przedstawiono dla rozkładu stanu użytkowanie -  $S_1$  (rys. 2).



Rysunek 2 Histogram czasów trwania stanu  $S_1$

### 3. Estymacja parametrów modelu semi-Markova

#### 3.1 Podstawowe charakterystyki

Wnioskiem z przeprowadzonych analiz wstępnych było stwierdzenie braku możliwości zastosowania modelu Markowa (wymaga wykładniczej postaci rozkładów zmiennych) i założenie przeprowadzenia analiz z wykorzystaniem modelu semi -Markowa, dla którego postać rozkładów może być dowolna.

Dla badanego procesu eksploatacji samochodów określono model semi-Markowa o skończonym zbiorze stanów za pomocą markowskiego procesu odnowy, wzorując się na [12, 13, 20]: Dla  $N$  oznaczającego zbiór liczb całkowitych nieujemnych,  $S$  – pewien zbiór skończony,  $R_+$  – zbiór liczb rzeczywistych nieujemnych, natomiast  $(\Omega, \mathcal{F}, P)$  – przestrzeń probabilistyczną, w której dla każdego  $n \in N$  są określone zmienne losowe:

$$\xi_n: \Omega \rightarrow S \quad (1)$$

$$\vartheta_n: \Omega \rightarrow R_+ \quad (2)$$

Dwuwymiarowy ciąg zmiennych losowych  $\{\xi_n, \vartheta_n: n \in N\}$  nazywany jest markowskim procesem odnowy, jeżeli dla każdego  $n \in N$ ,  $i, j \in S$ ,  $t \in R_+$ :

$$P\{\xi_{n+1} = j, \vartheta_{n+1} < t | \xi_n = i, \xi_{n-1}, \dots, \xi_0, \vartheta_n, \dots, \vartheta_0\} = P\{\xi_{n+1} = j, \vartheta_{n+1} < t | \xi_n = i\} \quad (3)$$

oraz

$$P\{\xi_0 = i, \vartheta_0 = 0\} = P\{\xi_0 = i\} \quad (4)$$

Z definicji tej wynika, że markowski proces odnowy jest szczególnym przypadkiem dwuwymiarowego procesu Markowa [14]. Prawdopodobieństwa przejścia tego procesu

zależą wyłącznie od wartości dyskretnej współrzędnej. Markowski proces odnowy  $\{\xi_n, \vartheta_n : n \in N\}$  nazywany jest jednorodnym, jeżeli prawdopodobieństwa:

$$P\{\xi_{n+1} = j, \vartheta_{n+1} < t | \xi_n = i\} = Q_{ij}(t) \quad (5)$$

nie zależą od  $n$ .

Macierz funkcyjna:

$$Q(t) = [Q_{ij}(t)], i, j \in S \quad (6)$$

nazywana jest jądrem odnowy. W oparciu o jednorodny markowski proces odnowy definiowany jest proces semi-Markowa [14].

Niech:

$$M(t) = \sup \{m \geq 0 : \tau_m \leq t\} \quad (7)$$

gdzie:

$$\tau_m = \vartheta_0 + \vartheta_1 + \dots + \vartheta_m \quad (8)$$

Proces stochastyczny  $\{M(t) : t \in R_+\}$  jest stały w przedziale  $[\tau_m, \tau_{m+1})$ . Proces stochastyczny  $\{X(t) : t \in R_+\}$  określony wzorem

$$X(t) = \xi_{M(t)} \quad (9)$$

jest modelem semi-Markowa.

Zdefiniowanie modelowego procesu semi-Markowa wymaga, oprócz określenia jądra procesu również jego rozkładu początkowego [13, 17, 38]. Badany proces eksploatacji pojazdów podzielono na trzy fazy o losowych czasach trwania. Wówczas jądro odnowy procesu semi-Markowa, zgodnie z grafem przejścia dozwolonych (rys. 1) przyjmuje postać:

$$Q(t) = \begin{bmatrix} 0 & Q_{12}(t) & Q_{13}(t) \\ Q_{21}(t) & 0 & 0 \\ 0 & Q_{31}(t) & 0 \end{bmatrix} \quad (10)$$

Macierz ta stanowi model zmian wyróżnionych stanów procesu. Niezerowe elementy  $Q_{ij}(t)$  macierzy  $Q(t)$  są warunkowymi prawdopodobieństwami przejścia procesu ze stanu  $S_i$  do stanu  $S_j$ , w czasie nie większym niż  $t$ , określonymi wg wzoru (11). Zależą one od rozkładu zmiennych losowych, którymi są długości czasu przebywania procesu w wyróżnionych stanach.

$$Q_{ij}(t) = P(X(\tau_{m+1}) = j, \tau_{m+1} - \tau_m \leq t | X(\tau_m) = i) \text{ dla } t \geq 0 \quad (11)$$

gdzie zmienna losowa  $\tau_m$  oznacza chwilę  $m$ -tej zmiany stanu

Rozkład początkowy:  $p_i(0), i \in S = \{1, 2, 3\}$  przyjęto w postaci:

$$p_i(0) = \begin{cases} 1, & \text{gdy } i = 1 \\ 0, & \text{gdy } i \neq 1 \end{cases} \quad (12)$$

gdzie:

$$p_i(0) = P\{X(0) = i\}, \quad i = 1, 2, 3 \quad (13)$$

Elementy te pozwalają wyznaczyć poszukiwane parametry probabilistyczne procesu eksploatacyjnego. Dla modelu semi-Markowa istotne są prawdopodobieństwa przejścia, zdefiniowane jako prawdopodobieństwa warunkowe [15]:

$$P_{ij}(t) = P\{X(t) = j | X(0) = i\}, \quad i, j \in S \quad (14)$$

$P_{ij}(t)$  są to prawdopodobieństwa przejścia ze stanu  $S_i$  do stanu  $S_j$  w chwili  $t$ . Obliczono je na postawie rzeczywistych relacji międzystanowych, wg wzoru (15).

$$p_{ij} = \frac{n_{ij}}{\sum_{k \in S} n_{ik}} \quad (15)$$

gdzie:

$n_{ij}$  – liczba przejść ze stanu  $S_i$  do stanu  $S_j$ ,

$\sum_{k \in S} n_{ik}$  – liczba wszystkich przejść (wyjść) ze stanu  $S_i$ ,

Rozkład prawdopodobieństwa zmian wyróżnionych stanów eksploatacyjnych (w jednym kroku), przy założeniu, że każdemu łukowi grafu odwzorowania procesu eksploatacji (rys. 1), łączącemu dwa stany procesu, odpowiada wartość prawdopodobieństwa  $p_{ij}$  zawiera tab. 1.

Tabela 1. Macierz prawdopodobieństw przejść  $p_{ij}$

$p_{ij}$	$S_1$	$S_2$	$S_3$
$S_1$	0	0,8	0,2
$S_2$	1	0	0
$S_3$	0	1	0

Obliczone wartości prawdopodobieństw przejść dotyczą zbiorów stanów, a nie okresu czasu. Np.  $p_{13} = 0,2$  oznacza, że wśród wszystkich wyjść ze stanu  $S_1$  przejścia ze stanu  $S_1$  do  $S_2$  stanowią 20%.

### 3.2 Własności graniczne

Ważną rolę w badaniu procesu eksploatacji samochodów modelowanych łańcuchem Markowa pełnią jego własności graniczne [13, 20], a szczególnie granice prawdopodobieństw  $p_j(n)$  oraz  $p_{ij}(n)$  przy  $n \rightarrow \infty$ , które opisują zachowanie procesu po długim czasie [13, 36]. Istotnym pojęciem w tej kwestii jest rozkład stacjonarny jednorodnego łańcucha Markowa, opisywany wektorem  $\Pi$  [14]:

$$\Pi = [\pi_1, \pi_2, \pi_3] \quad (16)$$

takim, że:

$$\Pi = \Pi P \quad (17)$$

gdzie

$$P = \begin{bmatrix} p_{11} & p_{12} & p_{13} \\ p_{21} & p_{22} & p_{23} \\ p_{31} & p_{32} & p_{33} \end{bmatrix} \quad (18)$$

oraz

$$\sum_{j=1}^3 \pi_j = 1 \quad (19)$$

oznacza to, że jeżeli łańcuch w pewnej chwili  $m$  osiągnie rozkład stacjonarny, to dla każdej kolejnej chwili  $n$ , większej od  $m$ , rozkład bezwarunkowy pozostanie taki sam.

Dla badanego procesu istnieją granice:

$$\lim_{n \rightarrow \infty} p_{ij}(n) = \pi_j \quad i, j = 1, 2, 3 \quad (20)$$

gdzie:

$p_{ij}(n)$  – prawdopodobieństwo przejścia ze stanu  $S_i$  do stanu  $S_j$  w  $n$  krokach.

Obliczona macierz prawdopodobieństw zmian stanów eksploatacyjnych włożonego w proces łańcucha Markowa (tab. 1), umożliwiła wyznaczenie prawdopodobieństw stacjonarnych  $\pi_j$ , zgodnie z układem równań (17).

Dla badanego procesu, dla modelu 3-stanowego, oszacowanie prawdopodobieństw stacjonarnych  $\pi_j$  wymagało rozwiązyania równania macierzowego:

$$\begin{bmatrix} \pi_1 \\ \pi_2 \\ \pi_3 \end{bmatrix}^T \cdot \begin{bmatrix} 0 & p_{12} & p_{13} \\ p_{21} & 0 & 0 \\ 0 & p_{32} & 0 \end{bmatrix} = \begin{bmatrix} \pi_1 \\ \pi_2 \\ \pi_3 \end{bmatrix}^T \quad (21)$$

z warunkiem normalizacji:

$$\pi_1 + \pi_2 + \pi_3 = 1 \quad (22)$$

co jest równoważne następującemu układowi równań:

$$\begin{cases} \pi_2 \cdot p_{21} = \pi_1 \\ \pi_1 \cdot p_{12} + \pi_3 \cdot p_{32} = \pi_2 \\ \pi_1 \cdot p_{13} = \pi_3 \\ \pi_1 + \pi_2 + \pi_3 = 1 \end{cases} \quad (23)$$

Po podstawieniu wartości prawdopodobieństw przejść (tab. 1) otrzymujemy:

$$\begin{cases} \pi_2 = \pi_1 \\ 0,8 \pi_1 + \pi_3 = \pi_2 \\ 0,2 \pi_1 = \pi_3 \\ \pi_1 + \pi_2 + \pi_3 = 1 \end{cases} \quad (24)$$

Rozwiązywanie układu równań przedstawia tab. 2.

Tabela 2. Prawdopodobieństwa stacjonarne  $\pi_j$  wyróżnionych stanów eksploatacyjnych

	$S_1$	$S_2$	$S_3$
$\pi_i$	0,455	0,455	0,09
$\pi_i [\%]$	45,5	45,5	9

W następnej kolejności, na podstawie grafu skierowanego (rys. 1), określającego prawdopodobieństwa przejść stanów łańcucha Markowa (tab. 1), oraz na podstawie

empirycznych czasów  $t_{ij}$  trwania poszczególnych stanów dokonano estymacji warunkowych wartości oczekiwanych  $E(T_{ij})$  czasów trwania stanów procesu  $X(t)$  na podstawie estymatora określonego wzorem (24)

$$\widehat{E(\bar{T}_{ij})} = \bar{T}_{ij} = \frac{t_{ij}}{\sum_{j \in S} t_{ij}} \quad (25)$$

Macierz  $\bar{T} = [\bar{T}_{ij}]$ ,  $i, j = 1, 2, 3$  oszacowanych warunkowych wartości oczekiwanych czasów  $T_{ij}$  przedstawiono w tab. 3.

Tabela 3. Oszacowane wartości oczekiwane warunkowych czasów  $T_{ij}$

$\bar{T}_{ij}$ [minuty]	$S_1$	$S_2$	$S_3$
$S_1$		844	845
$S_2$	479		
$S_3$		388	

Znajomość elementów macierzy  $P$  i  $\bar{T}$  pozwala na oszacowanie wartości oczekiwanych  $ET_i$ ,  $i = 1, 2, 3$  bezwarunkowych czasów trwania poszczególnych stanów procesu, wg zależności:

$$\widehat{ET}_i = \bar{T}_i = \sum_{j=1}^3 p_{ij} \cdot \bar{T}_{ij} \quad (26)$$

Dla badanego 3-stanowego procesu użytkowania pojazdów problem oszacowania wartości oczekiwanych bezwarunkowych czasów trwania poszczególnych stanów procesu sprowadził się do rozwiązania następującego układu równań:

$$\begin{cases} \bar{T}_1 = p_{12} \cdot \bar{T}_{12} + p_{13} \cdot \bar{T}_{13} \\ \bar{T}_2 = p_{21} \cdot \bar{T}_{21} \\ \bar{T}_3 = p_{32} \cdot \bar{T}_{32} \end{cases} \quad (27)$$

Oszacowane wartości bezwarunkowych czasów  $\bar{T}_i$  przedstawiono w tab. 4.

Tabela 4. Bezwarkunkowe czasy  $\bar{T}_i$  [minuty] przebywania procesu w 3 stanach eksploatacyjnych

stan	$\bar{T}_i$ [minuty]
1	844,2
2	479
3	388

Zmienne losowe  $T_i$ ,  $i = 1, 2, 3$  mają skończone, dodatnie wartości oczekiwane. Pozwala to na wyznaczenie rozkładu granicznego procesu semi-Markowa. W oparciu o rozkład stacjonarny włożonego łańcucha Markowa (tab. 2) oraz oszacowane wartości oczekiwane czasów trwania procesu (tab. 4) estymowano prawdopodobieństwa graniczne, zgodnie ze wzorem (28) [20].

$$P_i = \frac{\pi_i \cdot \bar{T}_i}{\sum_{k \in S} \pi_k \cdot \bar{T}_k}, \quad i = 1, 2, 3 \quad (28)$$

Obliczony, graniczny rozkład prawdopodobieństwa stanów procesu semi-Markowa, przedstawiono w tab. 5.

Tabela 5. Rozkład prawdopodobieństw granicznych  $P_i$

Rozkład	$P_1$	$P_2$	$P_3$
prawdopodobieństwa	0,6026	0,3419	0,0555
procentowy	60	34	6

Wartości  $P_i$  są granicznymi prawdopodobieństwami określającymi, że w długim okresie eksploatacji ( $t \rightarrow \infty$ ) pojazd będzie przebywał w danym stanie eksploatacyjnym.

Największe wartości osiągnięto dla stanu użytkowanie (60%), co jest bardzo dobrym wynikiem. Postój użytkowy osiąga graniczną wartość wynoszącą 34%, co również jest zadowalającym rezultatem i świadczy z jednej strony o dużej gotowości badanych pojazdów, a z drugiej o znacznej rezerwie, która jednak w przypadku struktur działających w sposób nieprzewidziany, interwencyjny wydaje się być racjonalną. W stanie napraw pojazdy przebywają granicznie jedynie z 5,5% prawdopodobieństwem.

Współczynnik gotowości technicznej  $K$  jest sumą odpowiednich prawdopodobieństw stanów niezawodnościowych. Dla zaproponowanego modelu eksploatacji pojazdów stany zdatności stanowią stan  $S_1$  oraz  $S_2$ , natomiast stan  $S_3$  jest stanem niezdatności. Stąd gotowość badanych pojazdów można obliczyć jako sumę prawdopodobieństw granicznych stanów  $S_1$  i  $S_2$ :

$$K = P_1 + P_2 \quad (29)$$

Obliczony współczynnik gotowości wynosi  $K = 94,45$  i oznacza, że niemal 95% czasu pojazdy badanej grupy pojazdów pozostają w stanie gotowości technicznej.

### 3.3 Czas pierwszego przejścia procesu eksploatacji pojazdu do podzbioru stanów (czas bezawaryjnej pracy)

Kolejną, ważną charakterystyką opisującą procesy eksploatacji pojazdów, jest czas pierwszego przejścia rozpatrywanego procesu do wyodrębnionego stanu lub zbioru stanów  $\{A\}$  [18]. Na podstawie zidentyfikowania rozkładu tego czasu i jego parametrów można wyznaczyć prawdopodobieństwo przebywania pojazdów w określonym stanie lub zbiorze stanów [20, 37]. Funkcja postaci:

$$\Phi_{iA}(t) = P(\Theta_A \leq t | X(0) = i), t \geq 0 \quad (30)$$

jest dystrybuantą rozkładu zmiennej losowej  $\Theta_A = \tau_{\Delta_A}$ , która oznacza czas upływający od chwili przyjęcia przez proces semi-Markowa wartości  $i \in A'$  do chwili, w której proces przyjmie jakąkolwiek wartość z podzbioru stanów  $A$ , gdzie  $A \subset S$  oraz  $A' = S - A$ . natomiast:

$$\Delta_A = \min \{n \in N : X(\tau_n) \in A\} \quad (31)$$

Dla regularnych procesów semi-Markowa, w których podzbiór  $A$  jest silnie osiągalny z każdego stanu należącego do  $A'$ , zmienne losowe  $T_{ij}$  mają skończone i dodatnie wartości oczekiwane  $E(T_{ij})$ , istnieją wartości oczekiwane  $E(\Theta_A)$  i są one jedynymi rozwiązaniami układu równań [13, 20]:

$$(I - P_{A'})\bar{\Theta}_{A'} = T_{A'} \quad (32)$$

gdzie:

$P_{A'}$  - macierz prawdopodobieństw przejść w zbiorze  $A'$

$\bar{\Theta}_{A'}$  - jądro procesu określone w zbiorze  $A'$

$T_{A'}$  - zmienne losowe bezwarunkowych czasów przebywania procesu w zbiorze stanów  $A'$

Ponieważ w rozważanym procesie zadanie transportowe zostanie wykonane, jeżeli nie nastąpi awaria środka transportu, to rozkład czasu wykonania zadania (bezawaryjnej pracy systemu) można znaleźć redukując pierwotny model o stan  $S_3$  - naprawa. Wówczas podzbiór stanów  $A' = \{S_1, S_2\}$ , natomiast podzbiór stanów  $A = \{S_3\}$ , a elementy równania (32) mają postać:

$$I = \begin{bmatrix} 1 & 0 \\ 0 & 1 \end{bmatrix}, \quad \bar{\Theta}_{A'} = \begin{bmatrix} \bar{\Theta}_{13} \\ \bar{\Theta}_{23} \end{bmatrix}, \quad \bar{T}_{A'} = \begin{bmatrix} E(T_1) \\ E(T_2) \end{bmatrix}, \quad (33)$$

$$P_{A'}(s) = \begin{bmatrix} 0 & p_{12} \\ p_{21} & 0 \end{bmatrix} \quad (34)$$

gdzie:

$$P_{A'} = [p_{ik}] \quad i, k \in A' \quad (35)$$

jest podmacierzą macierzy  $P_{ij}$  (tab. 1). Zmienna losowa  $\Theta_{ij}$  oznacza czas, który upłynął od chwili początkowej do chwili, w której po raz pierwszy zostanie osiągnięty stan naprawy, pod warunkiem, że w chwili uważanej za początkową rozpoczął się jeden ze stanów ze zbioru  $A'$ . Oznacza zatem czas bezawaryjnej eksploatacji systemu. Dla analizowanego modelu semi-Markowa, równanie macierzowe (32) jest postaci:

$$\left( \begin{bmatrix} 1 & 0 \\ 0 & 1 \end{bmatrix} - \begin{bmatrix} 0 & p_{12} \\ p_{21} & 0 \end{bmatrix} \right) \cdot \begin{bmatrix} \bar{\Theta}_{13} \\ \bar{\Theta}_{23} \end{bmatrix} = \begin{bmatrix} E(T_1) \\ E(T_2) \end{bmatrix} \quad (36)$$

Po podstawieniu odpowiednich wartości z tab.1 i tab.4 otrzymujemy :

$$\left( \begin{bmatrix} 1 & 0 \\ 0 & 1 \end{bmatrix} - \begin{bmatrix} 0 & 0,8 \\ 1 & 0 \end{bmatrix} \right) \cdot \begin{bmatrix} \bar{\Theta}_{13} \\ \bar{\Theta}_{23} \end{bmatrix} = \begin{bmatrix} 844,2 \\ 479 \end{bmatrix} \quad (37)$$

co sprowadza się do rozwiązywania układu równań:

$$\begin{cases} \bar{\Theta}_{13} - 0,8 \bar{\Theta}_{23} = 844,2 \\ -\bar{\Theta}_{13} + \bar{\Theta}_{23} = 479 \end{cases} \quad (38)$$

Wyniki obliczeń powyższego układu równań przedstawia tab. 6.

Tabela 6. Wartości elementów macierzy  $\bar{\Theta}$  czasu pierwszego przejścia dla ogółu pojazdów

$\bar{\Theta}$	[min]	[h]
$\bar{\Theta}_{13}$	6137	102,3
$\bar{\Theta}_{23}$	6616	110,3

Jeżeli rozkładem początkowym procesu eksploatacji jest wektor:

$$p = [p_1, p_2, p_3] \quad (39)$$

który w badanym procesie, zgodnie z pierwotnym założeniem (12) jest postaci:

$$p = [1, 0, 0] \quad (40)$$

wówczas pierwszy wiersz jednokolumnowej macierzy, stanowiącej rozwiązanie tego równania, jest wartością oczekiwana czasu wykonania zadania, która w tym przypadku wynosi ponad 102 godziny.

Możliwe jest również wyznaczenie rozkładu czasu poprawnej pracy obiektu. Korzystając z informacji, że prawdopodobieństwa przejścia  $P_{ij}(t)$ , zdefiniowane jako prawdopodobieństwa warunkowe [20]:

$$P_{ij}(t) = P\{X(t) = j | X(0) = i\}, \quad i, j \in S \quad (41)$$

spełniają równania Fellaera:

$$P_{ij}(t) = \delta_{ij}[1 - G_i(t)] + \sum_{k \in S} \int_0^t P_{kj}(t-x) dQ_{ik}(x), \quad i, j \in S \quad (42)$$

można znaleźć rozwiązanie tego układu posługując się przekształceniem Laplace'a – Stieltjesa:

$$\tilde{p}_{ij}(s) = \int_0^\infty e^{-st} dP_{ij}(t) \quad (43)$$

$$\tilde{q}_{ik}(s) = \int_0^\infty e^{-st} dQ_{ik}(t) \quad (44)$$

$$\tilde{g}_i(s) = \int_0^\infty e^{-st} dG_i(t) \quad (45)$$

gdzie  $Q_{ik}(t)$  to jądro procesu odnowy podzbioru stanów  $A'$  natomiast  $G_i(t)$  oznacza dystrybuantę zmiennej losowej  $T_i$  czasu trwania  $i$ -tego stanu procesu semi-Markowa, niezależnie od tego do jakiego stanu następuje przejście w chwili  $\tau_{n+1}$  [13]:

$$G_i(t) = P\{T_i < t\} = P\{\tau_{n+1} - \tau_n < t | X(\tau_n) = 1\}, i \in S \quad (46)$$

Wówczas powyższemu układowi równań całkowych odpowiada układ równań algebraicznych, o niewiadomych transformatach  $p_{ij}(s)$ ,  $i, j \in S$ :

$$\tilde{p}_{ij}(s) = \delta_{ij} \left[ \frac{1 - \tilde{g}_i(s)}{s} \right] + \sum_{k \in S} \tilde{q}_{ik}(s) \tilde{p}_{kj}(s), \quad i, j \in S \quad (47)$$

układ ten w notacji macierzowej ma postać:

$$\tilde{P}(s) = \frac{1}{s} [I - \tilde{q}(s)]^{-1} [1 - \tilde{g}(s)] \quad (48)$$

Po rozwiązaniu otrzymuje się macierz transformat. Ponieważ stanem początkowym jest stan  $S_1$ , więc pierwszy wiersz jest jednocześnie jednowymiarowym rozkładem procesu.

Dla badanego systemu:

$$Q(t) = \begin{bmatrix} 0 & Q_{12}(t) \\ Q_{21}(t) & 0 \end{bmatrix} \quad (49)$$

gdzie  $Q_{12}(t)$  oraz  $Q_{21}(t)$  są dystrybuantami estymowanych rozkładów Gamma:

$$Q_{12}(t) = \frac{e^{-\frac{t}{\beta_1}} t^{-1+\alpha_1} \beta^{-\alpha_1}}{\Gamma[\alpha_1]}, \quad t > 0 \quad (50)$$

$$Q_{21}(t) = \frac{e^{-\frac{t}{\beta_2}} t^{-1+\alpha_2} \beta^{-\alpha_2}}{\Gamma[\alpha_2]} \quad t > 0 \quad (51)$$

oraz

$$\Gamma(\alpha) = \int_0^\infty t^{\alpha-1} e^{-t} \quad (52)$$

ponieważ dla rozkładu Gamma transformata Laplace'a – Stieltjesa jest postaci:

$$\tilde{f}(s) = \left( \frac{\beta}{\beta + s} \right)^\alpha \quad (53)$$

stąd elementy równania (48) mają postać:

$$\frac{1}{s} [I - \tilde{q}(s)]^{-1} = \begin{bmatrix} \frac{0.1}{s(1 - \beta_1^{\alpha_1}(s + \beta_1)^{-\alpha_1}\beta_2^{\alpha_2}(s + \beta_2)^{-\alpha_1})} & \frac{0.1\beta_1^{\alpha_1}(s + \beta_1)^{-\alpha_1}}{s(1 - \beta_1^{\alpha_1}(s + \beta_1)^{-\alpha_1}\beta_2^{\alpha_2}(s + \beta_2)^{-\alpha_1})} \\ \frac{0.1\beta_2^{\alpha_2}(s + \beta_2)^{-\alpha_1}}{s(1 - \beta_1^{\alpha_1}(s + \beta_1)^{-\alpha_1}\beta_2^{\alpha_2}(s + \beta_2)^{-\alpha_1})} & \frac{0.1}{s(1 - \beta_1^{\alpha_1}(s + \beta_1)^{-\alpha_1}\beta_2^{\alpha_2}(s + \beta_2)^{-\alpha_1})} \end{bmatrix} \quad (54)$$

oraz

$$[1 - \tilde{g}(s)] = \begin{bmatrix} 1 - \beta_1^{\alpha_1}(s + \beta_1)^{-\alpha_1} & 1 \\ 1 & 1 - \beta_2^{\alpha_2}(s + \beta_2)^{-\alpha_1} \end{bmatrix} \quad (55)$$

Rozwiązaniem jest macierz, której elementy pierwszego wiersza wynoszą:

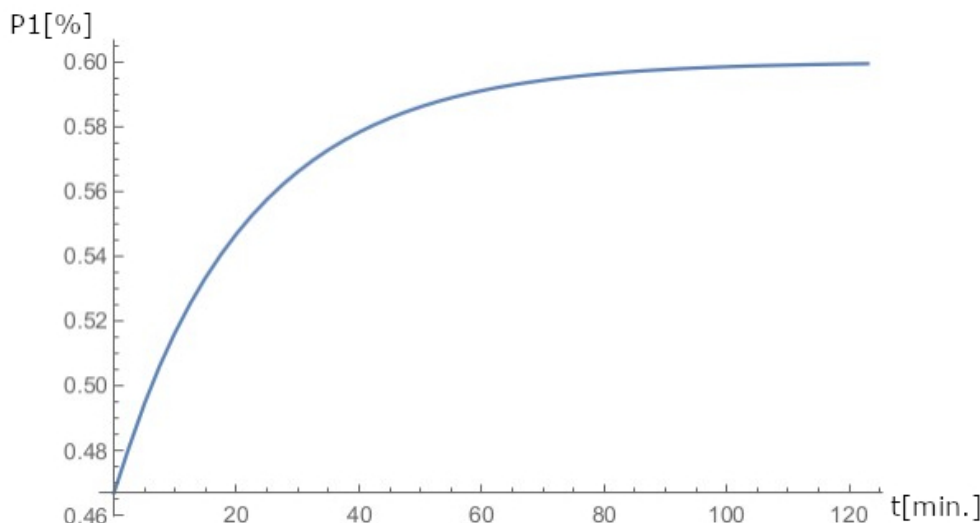
$$\tilde{P}_1(s) = \frac{0.1\beta_1^{\alpha_1}(s + \beta_1)^{-\alpha_1}}{s(1 - \beta_1^{\alpha_1}(s + \beta_1)^{-\alpha_1}\beta_2^{\alpha_2}(s + \beta_2)^{-\alpha_1})} + \frac{0.1(1 - \beta_1^{\alpha_1}(s + \beta_1)^{-\alpha_1})}{s(1 - \beta_1^{\alpha_1}(s + \beta_1)^{-\alpha_1}\beta_2^{\alpha_2}(s + \beta_2)^{-\alpha_1})} \quad (56)$$

$$\tilde{P}_2(s) = \frac{0.1}{s(1 - \beta_1^{\alpha_1}(s + \beta_1)^{-\alpha_1}\beta_2^{\alpha_2}(s + \beta_2)^{-\alpha_1})} + \frac{0.1\beta_1^{\alpha_1}(s + \beta_1)^{-\alpha_1}(1 - \beta_2^{\alpha_2}(s + \beta_2)^{-\alpha_1})}{s(1 - \beta_1^{\alpha_1}(s + \beta_1)^{-\alpha_1}\beta_2^{\alpha_2}(s + \beta_2)^{-\alpha_1})} \quad (57)$$

Po obliczeniu transformat odwrotnych otrzymuje się rozkład graniczny intensywności użytkowania obiektu. Dla stanu  $S_1$  otrzymujemy funkcję postaci:

$$P_1(t) = 0.0026857 e^{-0.66956t} - 0.006151 e^{-0.23043t} - 0.129546 e^{-0.0446957t} + 0.6 \quad (58)$$

Wykres tej funkcji przedstawia rys. 3



Rysunek 3. Wykres funkcji  $P_1(t)$

Funkcja stabilizuje się w czasie około 120 minut, a w granicy, dla  $t \rightarrow \infty$ , dąży do wcześniejszej obliczonej wartości granicznej procesu semi-Markowa wynoszącej  $P_1 = 60\%$ .

#### 4. Wnioski

Zastosowanie procesów semi -Markowa pozwala na wyznaczenie granicznego współczynnika gotowości oraz analizę czasów przebywania pojazdów specjalnych w wyróżnionych stanach eksploatacyjnych. Umożliwia także obiektywną ocenę intensywności użytkowania pojazdu i czasu jego bezawaryjnej pracy. Analizując czynniki gotowości można poszukiwać optymalnych algorytmów użytkowania i obsługiwanego pojazdów, a także analizować jakość doboru floty pojazdów.

Słuszność powyższych założeń potwierdziły zrealizowane badania. Zaproponowany model semi-Markowa umożliwił diagnostykę systemu eksploatacji radiowozów policyjnych wskazując, że charakteryzuje się on zadowalającym poziomem prawdopodobieństwa przebywania pojazdów w stanie użytkowania ( $P_1 = 0,6$ ) oraz w stanie postoju użytkowego ( $P_2 = 0,34$ ). Prognozowany współczynnik gotowości technicznej wyniósł  $K = 95\%$ .

Wykazano zatem skuteczność zastosowania procesów semi-Markowa do modelowania gotowości systemów eksploataacji pojazdów specjalnych. Model trzystanowy wyróżniający stan użytkowania pojazdu i stan postoju użytkowego oraz stan naprawy (obsługiwanie technicznego) okazał się uzasadniony. W tym przypadku nie było konieczne tworzenie rozbudowanych, wielostanowych struktur modelu procesu eksploatacji wymagających zaawansowanych programów obliczeniowych. Zaprezentowany, trzystanowy model jest możliwy do rozbudowy w sytuacji, kiedy konieczna byłaby pogłębiona analiza wybranych aspektów gotowości systemu.

#### Bibliografia

1. Andrzejczak K, Młyńczak M, Selech J. Poisson-distributed failures in the predicting of the cost of corrective maintenance. Eksplotacja I Niezawodność - Maintenance and Reliability 2018; 20(4): 602-609, <https://doi.org/10.17531/ein.2018.4.11>.
2. Bain L.J, Engelhardt M. Introduction to Probability and Mathematical Statistics. Second Edition. California: Cengage Learning, 2000.

3. Becker L.R, Zaloshnja E, Levick N, Guohua L, Miller T. R. Relative risk of injury and death in ambulances and other emergency vehicles. *Accident Analysis & Prevention* 2003; 35(6): 941-948, [https://doi.org/10.1016/S0001-4575\(02\)00102-1](https://doi.org/10.1016/S0001-4575(02)00102-1).
4. Behm G.W, Huber W.B, Noll A.J, Pelaez R. A Method and system for safe emergency vehicle operation using route calculation. United States Patent US8842021B2, 2014.
5. Cheng Q, Sun B, Zhao Y, Gu P. A method to analyze the machining accuracy reliability sensitivity of machine tools based on Fast Markov Chain simulation. *Podejście do analizy czułości niezawodnościowej dokładności obrabiarek oparte na symulacji metodą szybkich łańcuchów Markowa. Eksplotacja i Niezawodność - Maintenance and Reliability* 2016; 18 (4): 552-564, <https://doi.org/10.17531/ein.2016.4.10>.
6. Chu H. C. Risk factors for the severity of injury incurred in crashes involving on-duty police cars. *Traffic injury prevention* 2016, (5)17: 495-501, <https://doi.org/10.1080/15389588.2015.1109082>.
7. Dekker R, Nicolai R.P, Kallenberg L.C.M, Maintenance and Markov decision models. In Wiley StatsRef: Statistics Reference Online (eds Balakrishnan N, Colton T, Everitt B, Piegorisch W, Ruggeri F, Teugels J.L.). John Wiley & Sons, 2014, <https://doi.org/10.1002/9781118445112.stat03960>.
8. Dinc S, Dinc I. Evaluation of Unsupervised Classification on Police Patrol Zone Design Problem. *SoutheastCon* 2018. St Petersburg, 2018: 1-7, <https://doi.org/10.1109/SECON.2018.8478908>.
9. Dong W, Liu S, Yang X, Wang H, Fang Z. Balancing reliability and maintenance cost rate of multi-state components with fault interval omission. *Eksplotacja i Niezawodność - Maintenance and Reliability* 2019; 21(1): 37-45, <https://doi.org/10.17531/ein.2019.1.5>.
10. Elliott T, Payne A, Atkison T, Smith R. Algorithms in Law Enforcement: Toward Optimal Patrol and Deployment Algorithms. *Proceedings of the 2018 International Conference on Information and Knowledge Engineering IKE'18*. Las Vegas, 2018: 93-99.
11. Ge H, Tomasevicz C.L, Asgarpoor S. Optimum Maintenance Policy with Inspection by Semi-Markov Decision Processes. *39th North American Power Symposium, Las Cruces, 2007*: 541-546, <https://doi.org/10.1109/NAPS.2007.4402363>.
12. Girtler J, Ślęzak M. Application of the theory of semi-Markov processes to the development of a reliability model of an automotive vehicle. *Archiwum Motoryzacji* 2012; 2: 15-27, <https://doi.org/10.5604/1234754X.1066721>.
13. Grabski F. *Semi-Markov Processes. Applications in System Reliability and Maintenance*. Elsevier, 2015, <https://doi.org/10.1016/B978-0-12-800518-7.00004-1>.
14. Grabski F. *Teoria semi-Markowskich procesów eksplotacji obiektów technicznych. - The theory of semi-Markov processes of technical object exploitation* Gdynia: Zeszyty Naukowe Wyższej Szkoły Marynarki Wojennej 75A, 1982.
15. Hong W, Zhou K. A note on the passage time of finite-state Markov chains. *Communications in Statistics - Theory and Methods* 2017; 46(1): 438-445, <https://doi.org/10.1080/03610926.2014.995825>.
16. Hu L, Su P, Peng R, Zhang Z. Fuzzy Availability Assessment for Discrete Time Multi-State System under Minor Failures and Repairs by Using Fuzzy Lz-transform. *Eksplotacja i Niezawodność - Maintenance and Reliability* 2017; 19 (2): 179-190, <https://doi.org/10.17531/ein.2017.2.5>.
17. Huang X.X, Zou X.L, Guo X.P. A minimization problem of the risk probability in first passage semi-Markov decision processes with loss rates. *Science China Mathematics* 2015, 58: 1923 - 1938, <https://doi.org/10.1007/s11425-015-5029-x>.

18. Hunter J.J. The computation of the mean first passage times for Markov chains. *Linear Algebra and its Applications* 2018; 549: 100-122, <https://doi.org/10.1016/j.laa.2018.03.010>.
19. Iscioglu F, Kocak A. Dynamic reliability analysis of a multi-state manufacturing system. *Eksplotacja i Niezawodność - Maintenance and Reliability* 2019; 21 (3): 451-459, <https://doi.org/10.17531/ein.2019.3.11>.
20. Jaźwiński J, Grabski F. Niektóre problemy modelowania systemów transportowych - Selected problems of transport system modelling. Radom: Instytut Technologii Eksplotacji, 2003.
21. Kaczor G. Modelowanie i ocena niezawodności systemu transportu intermodalnego - Modelling and assessment of the reliability of the intermodal transport system. *Logistyka* 2015; 3: 2047-2054.
22. Kolesar P.J, Rider K.L, Crabbill T.B, Walker W.E. A Queuing-Linear Programming Approach to Scheduling Police Patrol Cars. *Operations Research* 1975; 23(6):1045-1062, <https://doi.org/10.1287/opre.23.6.1045>.
23. Landowski B, Muślewski Ł, Knopik L, Bojar P. Semi-Markov model of quality state changes of a selected transport system. *Journal of KONES* 2017; 24(4): 141-148.
24. Lu J-M, Lundteigen M.A, Liu Y, Wu X-Y. Flexible truncation method for the reliability assessment of phased mission systems with repairable components. *Eksplotacja i Niezawodność - Maintenance and Reliability* 2016; 18 (2): 229-236, <https://doi.org/10.17531/ein.2016.2.10>.
25. Lundälv J, Philipson Ch, Sarre R. How do we reduce the risk of deaths and injuries from incidents involving police cars? Understanding injury prevention in the Swedish context. *Police Practice and Research* 2010; 11(5): 437-450, <https://doi.org/10.1080/15614263.2010.497333>.
26. Lyons H.W. Integrated warning light and rear-view mirror. United States Patent 5851064, 1998.
27. Michaelson E.B. Bulletproof blanket for use with law enforcement vehicles such as police cars. United States Patent 6161462, 2000.
28. Migawa K. Availability control for means of transport in decisive semi-Markov models of exploitation process. *Archives of Transport* 2012; 4(24): 497-508, <https://doi.org/10.2478/v10174-012-0030-4>.
29. Młyńczak M. Metodyka badań eksploatacyjnych obiektów mechanicznych - Methodology of exploitation tests of mechanical objects. Wrocław: Oficyna Wydawnicza Politechniki Wrocławskiej, 2012.
30. Muślewski Ł. Control Method for Transport System Operational Quality. *Journal of KONES* 2009; 3(16): 275-282.
31. Restel F. The Markov reliability and safety model of the railway transportation system. *Safety and Reliability: Methodology and Applications Proceeding of the European Safety and Reliability Conference*. London, 2014: 303-311, <https://doi.org/10.1201/b17399-46>.
32. Świderski A. Inżynieria jakości w wybranych obszarach transportu - Quality engineering in selected areas of transport. Warszawa: Instytut Transportu Samochodowego (Motor Transport Institute), Warszawa 2018.
33. Szawłowski S. Analiza wpływu systemu obsługi na gotowość techniczną śmigłowca pokładowego SH-2G - Analysis of the impact of the maintenance system on the technical readiness of the SH-2G ship-based helicopter. *Prace Instytutu Lotnictwa* 2008; 3-4 (194-195): 326-331.
34. Thomas O.S, Sobanjo J.O. Semi-Markov Decision Process: A Decision Tool for Transportation Infrastructure Management Systems. *International Conference on*

- Transportation and Development: Projects and Practices for Prosperity 2016: 384 - 396, <https://doi.org/10.1061/9780784479926.036>.
- 35. Woropay M, Źurek J, Migawa K. Model of assessment and shaping of operational readiness of the maintenance subsystem in the transport system. Radom: Instytut Technologii Eksplotacji, 2003.
  - 36. Wu X, Zhang J. Finite approximation of the first passage models for discrete-time Markov decision processes with varying discount factors. Discrete Event Dynamic Systems 2016; 26(4): 669 - 683, <https://doi.org/10.1007/s10626-014-0209-3>.
  - 37. Wu X, Zou X, Guo X. First passage Markov decision processes with constraints and varying discount factors. Frontiers of Mathematics in China 2015; 10(4): 1005-1023, <https://doi.org/10.1007/s11464-015-0479-6>.
  - 38. Xie W, Hong Y, Trivedi K. Analysis of a two-level software rejuvenation policy. Reliability Engineering & System Safety 2005; 87: 13-22, <https://doi.org/10.1016/j.ress.2004.02.011>.
  - 39. Źurek J, Tomaszewska J. Analysis of the exploitation system from the standpoint of readiness, Prace Naukowe Politechniki Warszawskiej, Warszawa 2016; 114: 471 -477.